

ΤΕΚΤΟΝΙΚΗ ΕΞΕΛΙΞΗ ΤΟΥ ΠΕΛΑΓΟΝΙΚΟΥ ΚΡΥΣΤΑΛΛΟΣΧΙΣΤΩΔΟΥΣ ΚΑΤΑ ΤΗΝ ΔΙΑΡΚΕΙΑ ΤΟΥ ΚΡΗΤΙΑΙΚΟΥ (ΔΥΤΙΚΟ ΤΜΗΜΑ ΟΡΟΣΕΙΡΑΣ ΒΟΡΑ, ΜΑΚΕΔΟΝΙΑ, ΕΛΛΑΣ*)

A. ΑΥΓΕΡΙΝΑΣ¹, A. ΚΙΛΙΑΣ¹, A. ΚΟΡΩΝΑΙΟΣ¹, Δ. ΜΟΥΝΤΡΑΚΗΣ¹, W. FRISCH², I. DUNKL²
& T. MOST²

ΣΥΝΟΨΗ

Στο Πελαγονικό κρυσταλλοσχιστώδες στο δυτικό Βόρα, αναγνωρίστηκε ένα D_1 -τεκτονικό γεγονός κάτω χρητιδικής ηλικίας συν-μεταμορφικό ως προς μία, υψηλής πρασινοσχιστολιθικής-χαμηλής αμφιβολιτικής φάσης M_1 -μεταμόρφωση (~135εκ. χρ. ηλικία ψυξής). Στο Μέσο-Άνω Κρητιδικό οι D_1 δομές επηρεάζονται από ένα, κυρίαρχο, D_2 -τεκτονικό γεγονός, με κύρια έννοια της κίνησης προς τα ΝΑ. Το D_2 συνοδεύτηκε από μια ανάδομη πρασινοσχιστολιθικής φάσης M_2 -μεταμόρφωση (~90εκ. χρ.). Η S_2 -σχιστότητα πτυχώνεται συχνά από ασύμμετρες πτυχές ΒΔ-ΝΑ ανάπτυξης. Ένα νεώτερο τεκτονικό γεγονός, που χαρακτηρίζεται από την ανάπτυξη ημιτλαστικών ζωνών διάτημης με κύρια προς τα ΝΑ έννοια της κίνησης, επηρέασε σε ακόμα ψυχρότερες P-T συνθήκες στο Άνω Κρητιδικό (~60εκ. χρ.), κυρίως, τα ανώτερα τμήματα του κρυσταλλοσχιστώδους. Επίσης σε πλουτονικά σώματα, που διεισδύουν το κρυσταλλοσχιστώδες υπόβαθρο, προσδιορίσθηκε ηλικία διείσδυσης 300 ± 3 εκ. χρ.

ABSTRACT

The kinematic of the Cretaceous deformation and the relationship between deformation and metamorphism of the Pelagonian crystalline was studied in Voras Mt (northern Greece).

The Pelagonian crystalline in this area has been subdivided into a lower, core part, consisting mainly of gneissic rocks and schists and an upper, cover part, consisting of schists and quartzites with marble intercalations. Intensely deformed granitic rocks of Upper Paleozoic age intrude the Pelagonian crystalline basement.

An S_1 foliation is the oldest fabric recognized in the Pelagonian crystalline. S_1 is mainly defined by syn- S_1 garnet(Gr_1), biotite(Bt_1), white mica (Wm_1), chloritoid, kyanite and plagioclase in the metapelitic rocks and green amphibole, epidote, plagioclase, and biotite(Bt_1) in the amphibolite. Garnet grows also in some cases post-kinematically. Ilmenite and tourmaline are often found in the pelitic rocks as well.

S_1 is overprinted by an S_2 foliation that developed as a crenulation cleavage. In most places, however, S_2 has destroyed all earlier fabrics and a single S_2 fabric is present related to, isoclinal or sheath folds intrafolial in places. S_2 in the metapelitic rocks is characterized by the syn- S_2 development of chlorite, white mica(Wm_2) and plagioclase. In the amphibolite S_2 is mainly defined by the syn-kinematic development of actinolite, plagioclase, biotite(Bt_2), white mica(Wm_2) and chlorite. During D_2 garnet(Gr_1) and biotite(Bt_1) are partially replaced by chlorite, while green amphibole is replaced by actinolite and chlorite. Chloritoid remains generally stable along the S_2 -planes but in some places transforms to chlorite and sericite. Furthermore, D_2 was locally followed by a static post-kinematic annealing indicated by polygonal quartz microfabrics with equilibrated grain boundaries and triple points. The overall orientation of S_2 is dome shaped with a gentle SW-ward and NE-ward dip in the southwestern and northeastern flanks of the dome respectively. Syn- S_2 minerals defined a very well exposed NW-SE trending stretching lineation. Kinematic indicators show a main top to the SE sense of movement.

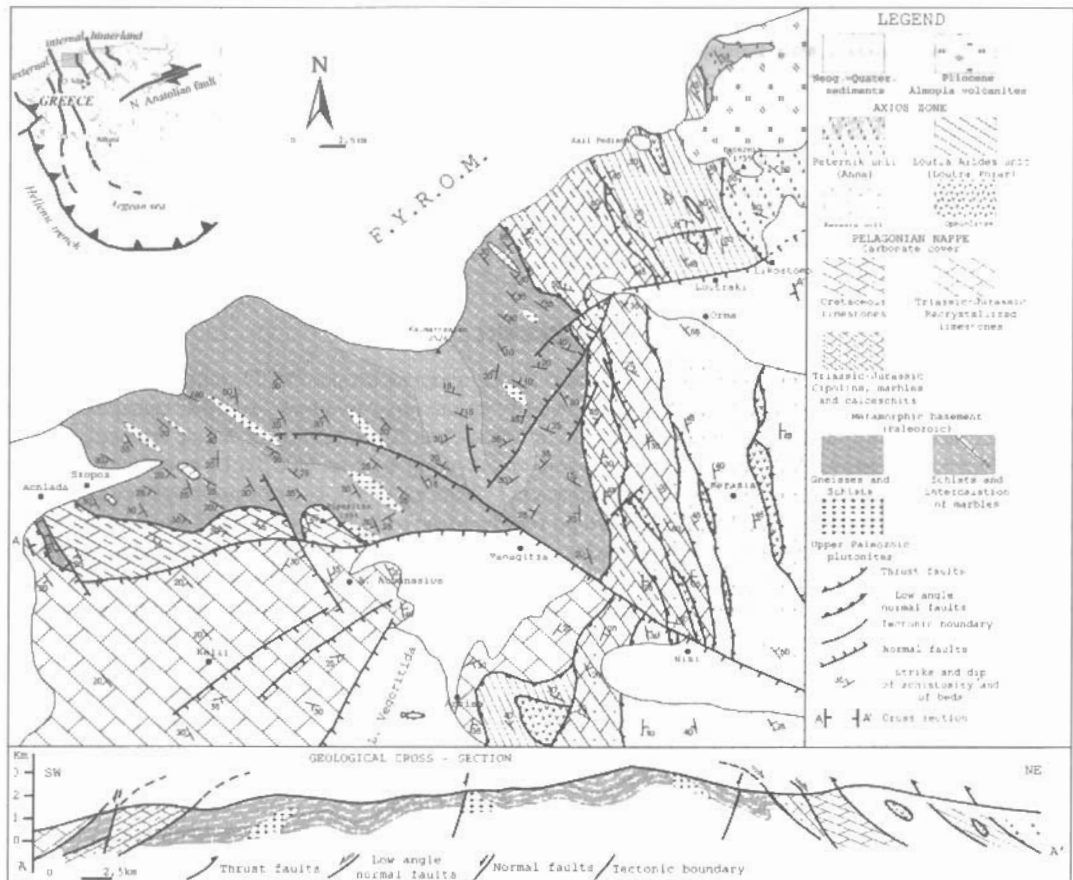
An S_3 crenulation cleavage associated with asymmetric NW-SE trending folds is also present in most parts of the core and cover rocks, possibly, related to a constrictional type of deformation.

A well developed, S_4 shear band cleavage is mainly present in the upper parts of the metamorphic dome and formed under cooler conditions. S_4 shear bands are associated with a NW-SE developed stretching lineation defined by elongated and dynamically recrystallized quartz grains and a preferred orientation of white mica and

* CRETACEOUS STRUCTURAL EVOLUTION OF THE PELAGONIAN CRYSTALLINE IN WESTERN VORAS MT (MACEDONIA, NORTHERN GREECE)

1. School of Geology, Aristotle University of Thessaloniki, 54124 Thessaloniki, Greece

2. Institut für Geologie und Paläontologie. Eberhard Karls-Universität 72076 Tübingen. Sigwartstr. 10, Germany.



*Σχ. 1. Γεωλογικός χάρτης του δυτικού τμήματος της οροσειράς του Βόρα (Μακεδονία, Ελλάδα),
(τοπολογικές από Moutoussis 1983 και Migros & Galeos 1990).*

Fig. 1. Geological map of the western Voras Mt. (Macedonia, Greece), (modified by Mountrakis 1983 and Migiros & Galeos 1990).

chlorite. Along the S_4 shear bands a transformation of garnet, biotite, chloritoid and amphibole into chlorite is always observed. S shear bands indicate a main top to the SE sense of movement.

The P-T metamorphic conditions were derived from textural equilibria and mineral assemblages, as well as from the spatial distribution of the metamorphic minerals. Syn-D₁ metamorphism reached the conditions of the boundaries between greenschist and amphibolitic facies. Syn-D₂ retrogression took place under greenschist facie conditions.

K/Ar radiometric datings on coarse-grained syn-S₁ and younger fine-grained syn-S₂ micas define an Early Cretaceous cooling age (135Ma) for the older event and a Mid- to Late Cretaceous age (90-80Ma) for the second event. A white mica age of ca. 65Ma correlates with S₄ shear band cleavage. Furthermore, the intrusion age of a granitic body into the Pelagonian crystalline is dated using the Pb/Pb single zircon evaporation method. The estimated intrusion age of 300 ± 3 Ma suggests that the Pelagonian crystalline was affected by a pre-kinematic magmatic activity relative to its Cretaceous deformation.

ΛΕΞΕΙΣ ΚΛΕΙΔΙΑ: Πελαγονικό κρυσταλλοσχιστώδες, Κρητιδικό, τεκτονική-μεταμόρφωση, γεωχρονολόγηση, οροσειράς Βόδα.

KEY WORDS: Pelagonian crystalline, Cretaceous, tectonics-metamorphism, geochronology, Voras Mountain.

1. ΕΙΣΑΓΩΓΗ – ΓΕΩΛΟΓΙΚΗ ΤΟΠΟΘΕΤΗΣΗ

Η περιοχή μελέτης καταλαμβάνει το δυτικό τμήμα της οροσειράς του Βόρα στην ΒΔ Μακεδονία (Βόρεια Ελλάδα). Ένα μεγάλο τμήμα της ανήκει γεωτεκτονικά στο Πελαγονικό κάλυμμα και το άλλο στην ζώνη Αξιού (Mercier 1968) (Σχ. 1).

Η γεωλογική δομή του δυτικού Βόρα μελετήθηκε από τους Mercier (1968), Μουντράκης (1976, 1983), Κήλιας (1980) και Kiliias (1991). Όμως από την μελέτη αυτή, έλειπε η λεπτομερής ανάλυση της υφής και της κινηματικής.

Το γεγονός αυτό αποτέλεσε ένα σημαντικό κίνητρο για την επαναποθέτηση της τεκτονικής ιστορίας της περιοχής του δυτικού Βόρα. Η εργασία αυτή αποτελεί ένα πρώτο βήμα για την προσπάθεια αυτή και περιλαμβάνει την μελέτη της τεκτονικής δομής και εξελιξης, καθώς και της συνθήκες μεταμόρφωσης της κρυσταλλοσχιστώδους μάζας του Πελαγονικού καλύμματος στη συγκεκριμένη περιοχή.

Για τον σκοπό αυτό χαρτογραφήθηκε με λεπτομέρεια η κρυσταλλοσχιστώδης μάζα του δυτικού Βόρα με τους γεωλογικούς σχηματισμούς που την περιβάλλουν, μελετήθηκε η κινηματική της παραμόρφωσης και συχετίστηκαν μεταξύ τους παραμόρφωση και P-T συνθήκες μεταμόρφωσης.

Η ζώνη Αξιού στην περιοχή μελέτης (Σχ. 1) αποτελείται από τις γεωλογικές ενότητες της Αλμωπίας, μέσα στις οποίες παρεμβάλλονται τεκτονικά οφιολιθικά πετρώματα του ωκεανού της Τηθύος. Οι γεωλογικές ενότητες της Αλμωπίας τοποθετούνται μεταξύ τους με την μορφή τεκτονικών λεπίων, τριτογενούς ηλικίας. Από τα ανατολικά προς τα δυτικά και από πάνω προς τα κάτω διακρίνονται στην, ενότητα Άννας (Πέτερονικ), ενότητα Λουτρών Αριδαίας (Λουτρών Πόξαρ) και ενότητα Κερασιάς. Οι ενότητες αυτές μαζί με τα οφιολιθικά πετρώματα τοποθετούνται τεκτονικά κατά την διάρκεια του Ηωκαίου πάνω στο Πελαγονικό καλύμμα (Medwenitsch 1956, Mercier 1968, Μουντράκης 1976, 1983 και Galeos et al. 1994).

Το Πελαγονικό καλύμμα του Δυτικού Βόρα αποτελείται από πάνω προς τα κάτω από (Σχ. 1): (α) τον άνω κρητιδικής-παλαιοκαινοϊκής ηλικίας φλύση, (β) τους ελαφρά ανακρυσταλλωμένους κρητιδικής ηλικίας ασβεστόλιθους, (γ) την ανακρυσταλλωμένη τριαδικούσιουρασικής ηλικίας ανθρακική σειρά και (δ) το παλαιοζωικής ή και παλαιότερο κρυσταλλοσχιστώδες υπόβαθρο, που επαναδραστηριοποιήθηκε κατά την αλτική ορογένεση και διακρίνεται, σε έναν καπώτερο τεκτονικό ορίζοντα, στα ανώτερα τμήματα του οποίου παρεμβάλλονται μάρμαρα. Πλουτωνικά πετρώματα κατά θέσεις έντονα παραμορφωμένα διεισδύουν το μεταμόρφωμένο αυτό υπόβαθρο (Mercier 1968, Μουντράκης 1976, 1983 και Κήλιας 1980).

2. ΚΙΝΗΜΑΤΙΚΗ ΑΝΑΛΥΣΗ ΤΗΣ ΠΑΡΑΜΟΡΦΩΣΗΣ

Κρίτηρα για την εξακριβωση της κινηματικής της παραμορφωσης αποτέλεσαν, φαινόμενα αλληλοεπιδράσης των τεκτονικών δομών μεταξύ τους, S-C υφές, ζώνες διάτημης, ecc-δομές, απόμμετρα "houdinage" η ανάπτυξη σ και δ κλαστών και "mica fish" (Lister & Snocke 1984, Passchier & Trouw 1996).

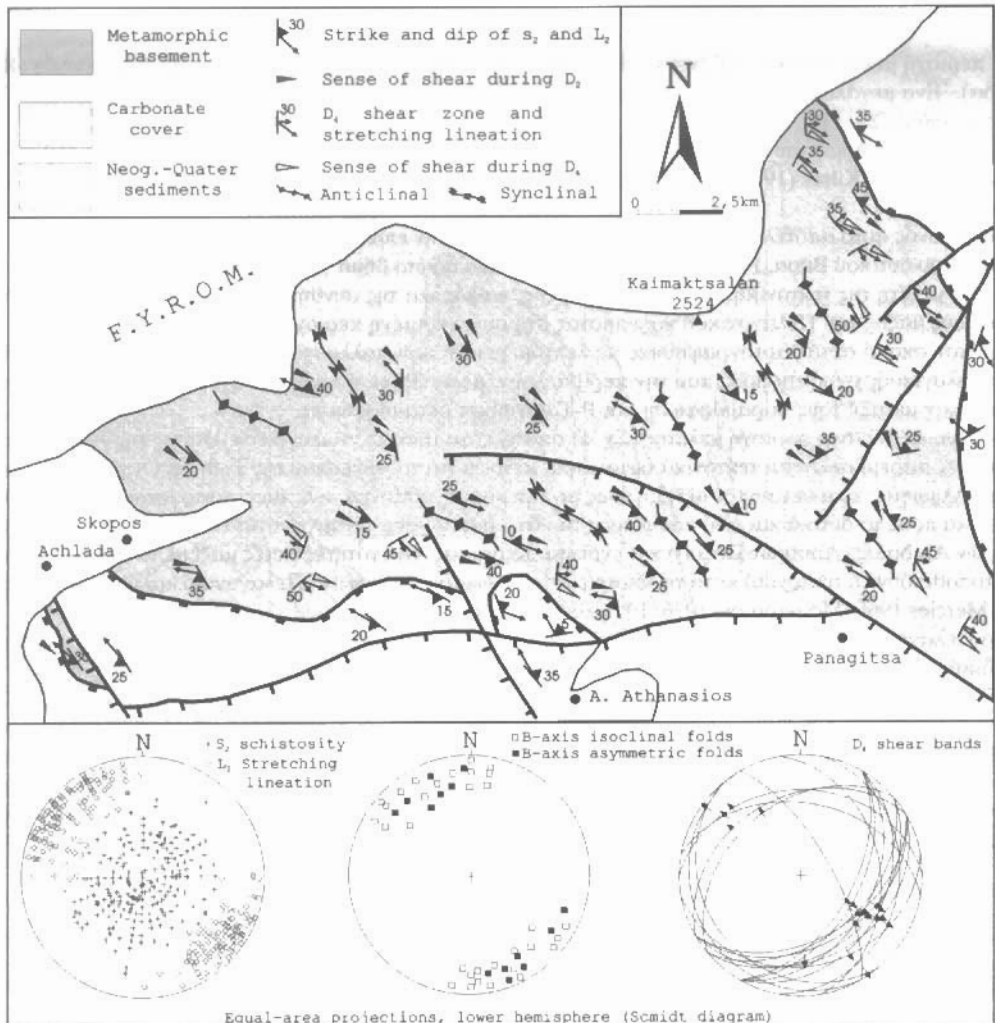
Η παλαιότερη υφή (D_1 παραμορφωση) που αναγνωρίσθηκε στο Πελαγονικό κρυσταλλοσχιστώδες στην περιοχή μελέτης, αποτελείται από μια S_1 -σχιστότητα. Στους πηλιτικούς σχιστόλιθους η S_1 καθορίζεται κυρίως, από την συν- S_1 ανάπτυξη γρανάτη, λευκού μαρμαρυγία (Wm₁), βιοτίτη (Bt₁), χλωφιτοειδή και πλαγιόκλαστου (Pl₁). Αντίστοιχα συν- S_1 ανάπτυξη πράσινης αμφιβόλου, επιδότου και πλαγιόκλαστου (Pl₁) χαρακτηρίζουν τα αμφιβολιτικά πετρώματα, ενώ συν- S_1 ανάπτυξη K-αστρίου, λευκού μαρμαρυγία (Wm₁), βιοτίτη (Bt₁), επιδότου και συχνά γρανάτη συνδέεται με τους γνευσίους.

Η S_1 -σχιστότητα επιτρέπεται από μια S_2 -σχιστότητα η οποία αναπτύσσεται συχνά ως μια σχιστότητα ρυτίδωσης. Εν τούτοις τις περισσότερες φορές η S_2 καταστρέφει τις προηγούμενες υφές και αποτελεί τη μοναδική και κύρια σχιστότητα του κρυσταλλοσχιστώδους, που αναπτύσσεται παράλληλα ως προς την αξονική επιφάνεια ισοκλινών ή "sheath" πτυχών, "intrafolial" κατά θέσεις (Σχ. 2, 3).

Η S_2 -σχιστότητα στους πηλιτικούς σχιστόλιθους χαρακτηρίζεται από την συν- S_2 ανάπτυξη, χλωρίτη, λευκού μαρμαρυγία (Wm₂) και πλαγιόκλαστου (Pl₂). Στους αμφιβολίτες η S_2 καθορίζεται κυρίως από την συν-κινηματική ανάπτυξη, ακτινόλιθου, πλαγιόκλαστου (Pl₂), βιοτίτη (Bt₂), λευκού μαρμαρυγία (Wm₂) και χλωρίτη. Τέλος στους γνευσίους, στην συν- S_2 αναπτύσσεται λευκός μαρμαρυγίας (Wm₂), βιοτίτης (Bt₂), πλαγιόκλαστο (Pl₂) και επίδοτο.

Η S_2 -σχιστότητα αναπτύσσεται, σε γενικές γραμμές με ΒΔ-ΝΑ παράταξη και διεύθυνση κλίσης προς τα ΝΔ και ΒΑ αντίστοιχα στο νοτιοδυτικό και βορειοανατολικό τμήμα του κρυσταλλοσχιστώδους, σχηματίζοντας έτσι μια μεγάλης κλίμακας αντικλινική δομή (Σχ. 1, 2).

Τα συν- S_2 ορυκτά ορίζουν μία L_2 -γράμμωση έκτασης με ΒΔ-ΝΑ ανάπτυξη, που αποτελεί και την κύρια γράμμωση του Πελαγονικού κρυσταλλοσχιστώδους (Σχ. 2, 3). Ανάλογη γράμμωση έκτασης με την ίδια ανάπτυ-

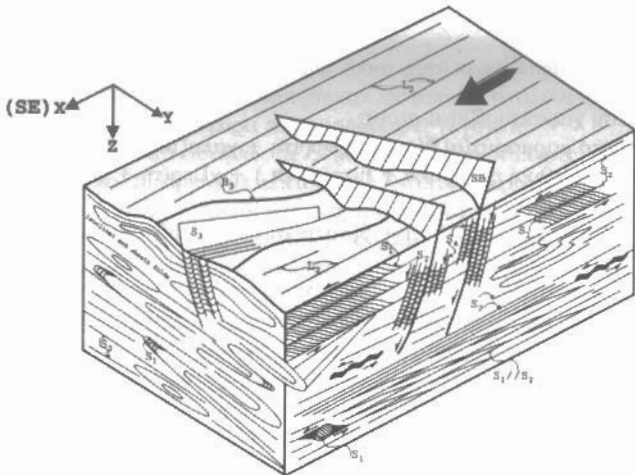


Σχ. 2. Τεκτονικός χάρτης του Πελαγονικού κρυσταλλοσχιστώδους στο δυτικό τμήμα της οροσειράς των Βόρα. Fig. 2. Structure sketch map of the Pelagonian crystalline basement at the western Voras Mt.

Έη, αναγνωρίζεται και στο τριαδικούνδρασκής ηλικίας ανθρακικό κάλυμμα του κρυσταλλοσχιστώδους (Σχ. 2). Όλοι οι δείπτες κινηματικής έδιεξαν μια κύρια έννοια της κίνησης, το επάνω προς τα ΝΑ (Σχ. 3) όπως, αναγνωρίσθηκε και από τον Kilias (1991).

Μια S_3 -σχιστότητα θυτίδωσης συνδεδεμένη με αισθητέρες ανοικτές, ΒΔ-ΝΑ ανάπτυξης πτυχές, εμφανίζεται επίσης συχνά στα πετρώματα του Πελαγονικού κρυσταλλοσχιστώδους (Σχ. 3). Οι B_3 -πτυχές θα μπορούσαν να ερμηνευθούν ως αποτέλεσμα μιας παραμόρφωσης, τύπου αξονικής επιμήκυνσης που έλαβε χώρα κατά την εξέλιξη του D_2 -παραμόρφωτικού γεγονότος.

Την D_2 -παραμόρφωση ακολούθησε μια σχετικά νεώτερη D_4 -παραμόρφωση, που χαρακτηρίζεται από την ανάπτυξη ημιπλαστικών, εφελκυντικών ζωνών διάτησης συνδεδεμένων με μια S_4 -σχιστότητα (Σχ. 3). Η D_4 αναγνωρίζεται κυρίως στα ανώτερα τμήματα του μεταμορφικού δόμου (Σχ. 2). Οι S_4 -επιφάνειες συνοδεύονται από μια γράμμιση έκτασης με ΒΔ-ΝΑ ανάπτυξη, η οποία προσδιορίζεται από την επιμήκυνση και την δυναμική ανακρυσταλλωση κόκκων χαλαζίας και από τον κατά προτίμηση προσανατολισμό του λευκού μαρμαραγγία και του χλωρίτη. Οι S_4 -επιφάνειες διάτησης δείχνουν μια κύρια έννοια της κίνησης, το επάνω προς τα ΝΑ (Σχ. 3).



Σχ. 3. Τρισδιάστατη σχηματική απεικόνιση της τεκτονικής δομής του Πελαγονικού κρυσταλλοσχιστώδοντος.
Fig. 3. Schematic 3-D presentation of the Pelagonian crystalline structure.

3. ΣΧΕΣΕΙΣ ΜΕΤΑΜΟΡΦΩΣΗΣ ΚΑΙ ΠΑΡΑΜΟΡΦΩΣΗΣ ΚΑΙ ΣΥΝΘΗΚΕΣ ΜΕΤΑΜΟΡΦΩΣΗΣ

Οι P-T συνθήκες μεταμόρφωσης υπολογίστηκαν με βάση τις καμπύλες ισορροπίας των ορυκτών μεταξύ τους και τις ορυκτολογικές παραγενέσεις των διάφορων πετρολογικών τύπων καθώς επίσης και τη χωρική κατανομή των μεταμορφικών ορυκτών.

Διακρίθηκαν δύο κύρια μεταμορφικά γεγονότα M_1 και M_2 , συντεκτονικά ως προς τις S_1 - και S_2 -σχιστότητες αντίστοιχα.

M_1 -μεταμόρφωση

Η κριτική συν- $S_1 M_1$ -παραγένεση στους διάφορους πετρολογικούς τόπους είναι:

- α) μετατηλίτες: λευκός μαρμαριγίας(Wm_1) + χαλαζίας + γρανάτης + χλωριτοειδής + πλαγιόκλαστο(Pl_1) ± βιοτίτης(Bt_1) ± κυανίτης ± ίλμενίτης ± απατίτης ± τουρμαλίνης. Ο γρανάτης αναπτύσσεται συχνά και μετά την τεκτονική σχηματίζοντας κορώνες από νέο γρανάτη γύρω από συν-κινηματικούς πυρήνες γρανατών.
- β) αμφιβολίτες: πράσινη αμφιβόλος + χαλαζίας + πλαγιόκλαστο(Pl_1) + επίδοτο + λευκός μαρμαριγίας(Wm_1) ± βιοτίτης(Bt_1) ± γρανάτης
- γ) γνεύσιοι: πλαγιόλαστο(Pl_1) + K-άστριος + λευκός μαρμαριγίας(Wm_1) + βιοτίτης(Bt_1) + χαλαζίας + επίδοτο ± γρανάτης

Με βάση την συν- $S_1 M_1$ -παραγένεση των μετατηλιτικών πετρωμάτων, και θεωρώντας ως κατώτερη θερμοκρασία δημιουργίας του γρανάτη την θερμοκρασία περίπου των 450°C (Bucher & Frey 1994) και ότι ο χλωριτοειδής καταστρέφεται πάνω από τους ~520°C, σύμφωνα με την αντίδραση $cld + qtz = st + alm + H_2O$ (Pawell & Holland 1990), μπορούμε να υποθέσουμε για την M_1 -μεταμόρφωση μια θερμοκρασία ανάπτυξης μεταξύ ~450°C και ~520°C (Σχ. 4).

Η συν- S_1 ανάπτυξη της πράσινης αμφιβόλου και του επιδότου στους αμφιβολίτες αποτελεί την χαρακτηριστική παραγένεση της επιδοτικής αμφιβολιτικής φάσης (Spear 1993).

Οι M_1 -παραγενέσεις φανερώνουν ότι η M_1 -μεταμόρφωση έλαβε χώρα στις συνθήκες της υψηλής πρασινοσιστολιθικής έως χαμηλής αμφιβολιτικής φάσης.

Τα δρα στης πίεσης κατά την M_1 -μεταμόρφωση δεν μπορούν να καθοριστούν με ακρίβεια, αφού λείπουν κρίσιμα ορυκτά. Λαμβάνοντας υπόψη αντιπροσωπευτικές εκτιμήσεις πιέσεων για πετρώματα που μεταμόρφωθηκαν σε άλλες ορογένετικές ζώνες στις ανάλογες συνθήκες θερμοκρασίας με τα πετρώματα του δυτικού Βόρα, θα μπορούσε να επιλεχθεί μια συντηρητική διακύμανση της πίεσης μεταξύ 5 kb έως 7 kb (Bucher & Frey 1994). Η παρουσία εξάλλου ίλμενίτη στην M_1 -παραγένεση, σε συνδυασμό με την παρατήρηση κρυστάλλων δρυτιλίουν, που πιθανόν να ανήκουν σε κάποιο παλαιότερο μεταμορφικό γεγονός, δείχνουν πιθανόν μια πτώση των συνθηκών πίεσης κατά την διάρκεια της M_1 -μεταμόρφωσης κάτω από τα ~7 kb σύμφωνα με την αντίδραση ισορροπίας $Alm + Rt \rightleftharpoons Kf$ (Poldervaart 1984).

Ψηφιακή Εικονογραφητική Θερμόρρεστος Τμήμα Γεωλογίας, Α.Π.Θ.

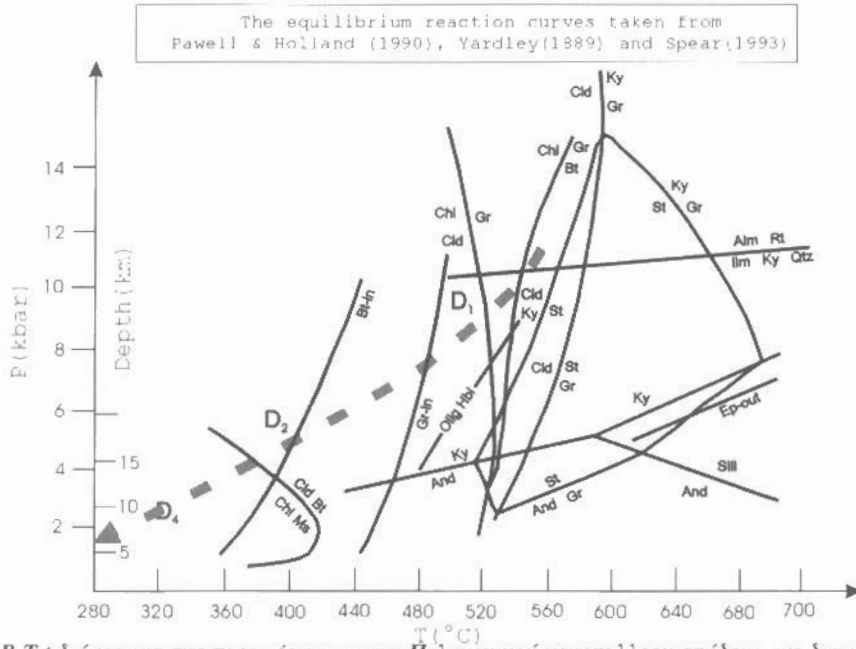
M_2 -μεταμόρφωση

Η συν- S_2 M_2 -παραγένεση χαρακτηρίζεται στους:

- α) μεταπλήσιες από: λευκό μαρμαρυγία (Wm_2) + χλωρίτη + χαλαζία + πλαγιόκλαστο (Pl_2)
- β) αμφιβολίτες από: ακτινολιθική αμφιβόλο + βιοτίτη (Bt_2) + χλωρίτη + χαλαζία + πλαγιόκλαστο (Pl_2) + επίδοτο + λευκό μαρμαρυγία (Wm_2)
- γ) γνεύσιους από: λευκό μαρμαρυγία (Wm_2) + βιοτίτη (Bt_2) + χλωρίτη + πλαγιόκλαστο (Pl_2) + χαλαζία + επίδοτο

Κατά την διάρκεια των D_2 -παραμορφωτικού γεγονότος στα μεταπλησιακά πετρώματα ο γρανάτης και βιοτίτης (Bt_1) μετατρέπονται μερικώς σε χλωρίτη κατά μήκος των S_2 -επιφανειών, ενώ ο χλωριτοειδής διατηρείται συνήθως στις S_2 -επιφάνειες σταθερός. Εντούτοις σε αρκετές περιπτώσεις, ο χλωριτοειδής φαίνεται να αντικαθίσταται από χλωρίτη και σερικίτη. Ανάλογα στους αμφιβολίτες η πράσινη αμφιβόλος μετατρέπεται σε ακτινόλιθο και χλωρίτη.

Η μετατροπή του βιοτίτη και γρανάτη σε χλωρίτη κατά μήκος των S_2 -επιφανειών, σε συνδυασμό με την M_2 -παραγένεση στα μεταπλησιακά πετρώματα φανερώνουν ότι η M_2 έλαβε χώρα σε συνθήκες της πρασινοσχιστολιθικής φάσης κάτω από τους $\sim 450^{\circ}\text{C}$ (Σχ. 4). Ανάλογες συνθήκες προκύπτουν και από τα αμφιβολιτικά πετρώματα, όπως δείχνει η μετατροπή της πράσινης αμφιβόλου σε ακτινόλιθο και χλωρίτη.



Σχ. 4. P-T-t διάγραμμα της παραμόρφωσης του Πελαγονικού κρυσταλλοσχιστόδοντος στο δυτικό Βόρα. Fig. 4. P-T-t diagram of the deformation of the Pelagonian crystalline basement at the western Voras Mt.

Για τις συνθήκες πίεσης κατά τη διάρκεια της D_2 -παραμόρφωσης θα μπορούσαμε να υποθέσουμε μια διακύμανση της πίεσης μεταξύ 3-6kb, συνθήκες που χαρακτηρίζουν γενικά την πρασινοσχιστολιθική φάση.

Όλα τα χαρακτηριστικά της M_2 -μεταμόρφωσης σε συνδυασμό με το κατά προσέγγιση πεδίο ανάπτυξης αυτής όπως υπολογίστηκε, φανερώνουν τον ανάδοχο χαρακτήρα της M_2 -μεταμόρφωσης.

Η D_2 -παραμόρφωση ακολουθήθηκε εντούτοις, τοπικά από μία σπαστική μετα-κινηματική αναθέρμανση όπως αυτή εξάγεται, από πολυγονικές μικρούντερες χαλαζίες με ισοδροσημένα δομια κόκκων και "τριτλά σημεία" ισορροπίας.

Τέλος η συν-κινηματική ανάπτυξη χλωρίτη και λευκού μαρμαρυγία και η ολική μετατροπή του γρανάτη, του βιοτίτη, του χλωριτοειδή και της αμφιβόλου σε χλωρίτη κατά μήκος των S_2 -επιφανειών διάτησης, φανερώνουν περαιτέρω πτώση των συνθηκών θερμοκρασίας. Η δυναμική ανακρυστάλλωση εντούτοις του χαλαζία κατά μήκος των S_2 -επιφανειών δηλώνει την διαπίρηση της θερμοκρασίας, τουλάχιστον, πάνω από τους 250°C κατά το στάδιο αυτό παραγόμενη θερμοκρασία "Θερμόφραστος" - Τμήμα Γεωλογίας. Α.Π.Θ.

4. ΣΥΖΗΤΗΣΗ – ΣΥΜΠΕΡΑΣΜΑΤΑ

Για την εξακρίβωση της ηλικίας της παραμόρφωσης όπως αυτή περιγράφεται για την κρυσταλλοσχιστώδη μάζα στην περιοχή του δυτικού Βόρα, πραγματοποιήθηκαν ισοτοπικές αναλύσεις με την μέθοδο K/Ar σε συνημματικούς μαρμαρυγίες ως προς τα διάφορα παραμόρφωτικά γεγονότα.

Συν-S₁ μαρμαρυγίες αναπτύσσονται συνήθως σε αδρόκοκκους κρυστάλλους, ενώ συν-κινηματική ανακρυστάλλωση μαρμαρυγών συνδέεται συνήθως με λεπτόκοκκη ανάπτυξη κρυστάλλων.

Προσδιορίστηκαν έτσι για την συν-S₁ μεταμόρφωση μια κάτω κρητιδικής ηλικίας ψύξη (περίπου 135εκ. χρόνια) και για την νεώτερη συν-S₂ μεταμόρφωση μια μέσο – άνω κρητιδική ηλικία (περίπου 90-80εκ. χρόνια). Η ηλικία των μαρμαρυγών, που υπολογίστηκε περίπου 65εκ. χρόνια, δηλώνει την ηλικία νεώτερης σχιστότητας των D₄-ζωνών διάτητης.

Σύμφωνα με τις παρατηρήσεις μας φαίνεται ότι κατά την διάρκεια του Κρητιδικού η κρυσταλλοσχιστώδης μάζα του Πελαγονικού καλύμματος στον δυτικό Βόρα, υφίσταται μια σπαδιακή ψύξη και πτώση των συνθηκών πλέοντος (Σχ. 4), γεγονός που φανερώνει την συνεχή ανοδική πορεία κίνησής της κατά το χρονικό αυτό διάστημα.

Τέλος ισοτοπικές αναλύσεις με την μέθοδο Pb/Pb εξατιμήσαντας μονοχρυστάλλους μη κληρονομημένων μαγματικών ζιρκόνων, σε ένα από τα διασπαρμένα μικρά σε όγκο πλουτωνικά σώματα της κρυσταλλοσχιστώδης μάζας του δυτικού Βόρα βρόχεια του χωριού Αγιος Αθανάσιος, έδωσαν ηλικία διείσδυσης 300 ± 3 Ma. Η ηλικία αυτή βρίσκεται σε συμφωνία με ηλικίες ανάλογων πλουτωνικών σωμάτων που διεισδύουν το κρυσταλλοσχιστώδες υπόβαθρο του Πελαγονικού καλύμματος σε γειτονικές περιοχές (Μουντράκης 1983, Κορονέος et al. 1993). Αναγνωρίζεται έτσι στο Πελαγονικό κρυσταλλοσχιστώδες μια προ-κινηματική μαγματική δραστηριότητα ως προς την κρητιδική παραμόρφωση του.

ΕΥΧΑΡΙΣΤΙΕΣ: Θερμά ευχαριστούμε τον Prof. T. Reischmann του πανεπιστημίου Mainz και τον Δρ. Δ. Κωστόπουλο για την προσφορά των ισοτοπικών αναλύσεων στα ζιρκόνια.

ΒΙΒΛΟΓΡΑΦΙΑ

- BOHLEN, S.R., WALL V.J., BOETTCHER, A.L. (1983): Experimental investigation and application of garnet granulite equilibria. *Contrib. Mineral. Petrol.*, 83, 52-61.
- BUCHER, K. & FREY, M. (1994): Petrogenesis of Metamorphic Rocks. 6th Edition, Complete Revision of Winkler's Textbiok, Springer-Verlag Berlin Heidelberg, 318p.
- GALEOS, A., POMONI-PAPAIOANNOU, F., TSAILA-MONOPOLIS S., TURNSEK, D. AND IOAKIM, CHR. (1994): Upper Jurassic – Lower Cretaceous "molassic-type" sedimentation in the western part of Almopia subzone, Loutra Aridhea unit (Northern Greece). *Bull. Soc. Geol. Greece*, XXX/1, 171-184.
- KILIAS,A. (1991): Transpressive Tektonik in den zentralen Helleniden Änderung der Translationspfade durch die Transpressione (Nord-Zentral-Griechenland). *N. Jb. Geol. Paläont. Mh.*, 5, 291-306.
- KILIAS, A. (1980): Γεωλογική και τεκτονική μελέτη της περιοχής του Ανατολικού Βαρνούντα (ΒΔ Μακεδονία). Διδακτορική διατριβή, Πανεπιστήμιο Θεσσαλονίκης, 271p.
- KORONEOS, A., CRISTOFIDES, G., DEL MORO, A. & KILIAS, A. (1993): Rb-Sr geochronology and geochemical aspects of the Eastern Varnountas plutonite (NW Macedonia, Greece). *Neues Jahrbuch Miner. Abh.*, 165, 3, 297-315.
- LISTER, G.S. & SNOCKE, A.W. (1984): S-C Mylonites. *J. Struct. Geol.*, 6, 617-638.
- MEDWENITSCH, W. (1956): Zur Geologie Vardarische-Makedoniens (Jugoslaviens), zum Problem der Pelagoniden. *S. Ber. Östr. Ak. Wsch., math.-natw. Kl., Abt.*, I, p. 397-473, Wien.
- MERCIER, J. (1968): Étude géologique des zones internes des Hellenides en Macédoine centrale (Grèce). Contribution à l' étude du métamorphisme et de l' évolution magmatique des zones internes des Hellenides. Thèses. Paris, 1966, *Ann. Geol. Pays Hellen.*, 20, 1-792.
- MIGIROS, G. & GALEOS, A. (1990): Tectonic and stratigraphy significance of the Ano Garefi ophiolitic rocks, (Northern Greece). OPHIOLITES, Oceanic Crustal Analogues. Proceedings of the Symposium "TROODOS 1987". Geological Survey Department, Ministry of Agriculture and Natural Resources, Nicosia, Cyprus., 279-284.
- MOUNTRAKIS, D. (1983): Η γεωλογική δομή της Βόρειας Πελαγονικής Ζώνης και η γεωτεκτονική εξέλιξη των εσωτερικών ελληνίδων. Πραγματεία για Υφηγεσία, Πανεπιστήμιο Θεσσαλονίκης. 289p.
- MOUNTRAKIS, D. (1976): Συμβολή εις την γνώση της γεωλογίας του βόρειου ορίου των ζωνών Αξιού και Πελαγονικής εις την περιοχή Κ. Λουτρακίου-Όρμας (Αλμωπίας). Διδακτορική διατριβή Πανεπιστήμιο Θεσσαλονίκης, 164p.
- Ψηφιακή Βιβλιοθήκη "Θεόφραστος" - Τμήμα Γεωλογίας. Α.Π.Θ.

- PASSCHIER, C.W. & TROUW, R.A.J. (1996): Micro-tectonics. Springer-Verlang, N. York, 289p.
- PAWELL, R. & HOLLAND, T. (1990): Calculated mineral equilibria in the pelite system, KFMASH (K_2O - FeO - MgO - Al_2O_3 - SiO_2 - H_2O). *Am. Mineral.*, 75, 367-380.
- SPEAR, F. (1993): Metamorphic Phase Equilibria and Pressure-Temperature-Time Paths. Mineral. Soc. of Am., Washington, D. C., 799p.
- YARDLEY, B.W.D (1989): An Introduction to Metamorphic Petrology. Longman Earth Science Series, New York, 248p.